

# 一维抛物型方程的差分格式

肖名财 刘礼海

## 一、引言

在研究热传导过程、气体膨胀过程和电磁场的传播等问题时，常常会遇到抛物型偏微分方程。这类方程的自变量中有一个是实际中的时间变量，用  $t$  表示。本文研究一维非齐次热传导方程的 Dirichlet 初边值问题：

$$\begin{cases} \frac{\partial u}{\partial t} - a \frac{\partial^2 u}{\partial x^2} = f(x, t), 0 \leq x \leq 1, 0 \leq t \leq T & (1a) \\ u(x, 0) = \varphi(x), 0 \leq x \leq 1 & (1b) \\ u(0, t) = \alpha(t), u(1, t) = \beta(t), 0 \leq t \leq 1 & (1c) \end{cases}$$

其中  $a$  为正常数， $f(x, t), \varphi(t), \alpha(t), \beta(t)$  为已知函数， $\varphi(0) = \alpha(0), \varphi(1) = \beta(0)$  称 (1b) 为初值条件，(1c) 为边值条件。

## 二、数值格式

首先，将区间  $[0, 1]$  作  $m$  等分，将区间  $[0, T]$  作  $n$  等分，记  $h = \frac{1}{m}, \tau = \frac{T}{n}, x_i = ih, 0 \leq i \leq m, t_k = k\tau, 0 \leq k \leq n$

分别称  $h$  和  $\tau$  为空间步长和时间步长。

称在  $t=0, x=0, x=1$  处的节点为内节点，其他节点为边界节点，称在直线  $t = t_k$  上的所有节点  $(x_i, t_k) | 0 \leq i \leq m$  为第  $k$  层节点。

### 2.1 向后 Euler 格式

在节点  $(x_i, t_k)$  处考虑微分方程 (1a)，有

$$\frac{\partial u}{\partial t}(x_i, t_k) - a \frac{\partial^2 u}{\partial x^2}(x_i, t_k) = f(x_i, t_k), 1 \leq i \leq m-1, 0 \leq k \leq n-1 \quad (2)$$

用二阶中心差商代替二阶导数

$$\frac{\partial^2 u}{\partial x^2}(x_i, t_k) = \frac{1}{h^2} [u(x_{i-1}, t_k) - 2u(x_i, t_k) + u(x_{i+1}, t_k)] + O(h^2) \quad (3)$$

用向后差商代替一阶导数

$$\frac{\partial u}{\partial t}(x_i, t_k) = \frac{u(x_i, t_k) - u(x_i, t_{k-1})}{\tau} + O(\tau) \quad (4)$$

将 (3) 和 (4) 带入 (2) 式, 得

$$\frac{u(x_i, t_k) - u(x_i, t_{k-1})}{\tau} - a \frac{u(x_{i-1}, t_k) - 2u(x_i, t_k) + u(x_{i+1}, t_k))}{h^2} = f(x_i, t_k) + O(h^2 + \tau) \quad (5)$$

截断误差为  $O(h^2 + \tau)$ .

在 (5) 中略去截断误差, 得差分格式

$$\begin{cases} \frac{u(x_i, t_k) - u(x_i, t_{k-1})}{\tau} - a \frac{u(x_{i-1}, t_k) - 2u(x_i, t_k) + u(x_{i+1}, t_k))}{h^2} = f(x_i, t_k) & (6a) \end{cases}$$

$$\begin{cases} u_i^0 = \varphi(x_i), 0 \leq i \leq m & (6b) \end{cases}$$

$$\begin{cases} u_0^k = \alpha(t_k), u_m^k = \beta(t_k), 1 \leq k \leq n & (6c) \end{cases}$$

称 (6a)-(6c) 为向后 Euler 格式.

记  $\gamma = \frac{a\tau}{h^2}$ , 称  $\gamma$  为步长比, (6a) 整理得

$$-\gamma u_{i-1}^k + (1 + 2\gamma)u_i^k - \gamma u_{i+1}^k = u_i^{k-1} + \tau f(x_i, t_k), 1 \leq i \leq m-1, 0 \leq k \leq n-1 \quad (7)$$

写成矩阵形式

$$Au = f \quad (8)$$

其中

$$A = \begin{bmatrix} 1+2\gamma & -\gamma & & & \\ -\gamma & 1+2\gamma & -\gamma & & \\ & & \ddots & \ddots & \ddots \\ & & & -\gamma & 1+2\gamma \end{bmatrix}$$

$$u = \begin{bmatrix} u_1^k \\ u_2^k \\ \vdots \\ u_{m-2}^k \\ u_{m-1}^k \end{bmatrix}$$

$$f = \begin{bmatrix} u_1^{k-1} + \gamma u_0^k \\ u_2^{k-1} \\ \vdots \\ u_{m-2}^{k-1} \\ u_{m-1}^{k-1} + \gamma u_m^k \end{bmatrix} + \begin{bmatrix} \tau f(x_1, t_k) \\ \tau f(x_2, t_k) \\ \vdots \\ \tau f(x_{m-2}, t_k) \\ \tau f(x_{m-1}, t_k) \end{bmatrix}$$

解方程 (8), 可以得到数值解。

## 2.2 Crank-Nicolson 格式

引入半整数点记  $t_{k+\frac{1}{2}} = \frac{1}{2}(t_k + t_{k+1})$

在点  $(x_i, t_{k+\frac{1}{2}})$  处考虑微分方程 (1a), 有

$$\frac{\partial u}{\partial t}(x_i, t_{k+\frac{1}{2}}) - a \frac{\partial^2 u}{\partial x^2}(x_i, t_k) = f(x_i, t_{k+\frac{1}{2}}), 1 \leq i \leq m-1, 0 \leq k \leq n-1 \quad (9)$$

由 Taylor 展开得

$$\frac{\partial^2 u}{\partial x^2}(x_i, t_k) = \frac{\partial^2 u}{\partial x^2}(x_i, t_{k+\frac{1}{2}}) - \frac{\tau}{2} \frac{\partial^3 u}{\partial x^2 \partial t} + \frac{1}{2} \left(\frac{\tau}{2}\right)^2 \frac{\partial^4 u}{\partial x^2 \partial t^2} + O(\tau^3) \quad (10)$$

$$\frac{\partial^2 u}{\partial x^2}(x_i, t_{k+1}) = \frac{\partial^2 u}{\partial x^2}(x_i, t_{k+\frac{1}{2}}) + \frac{\tau}{2} \frac{\partial^3 u}{\partial x^2 \partial t} + \frac{1}{2} \left(\frac{\tau}{2}\right)^2 \frac{\partial^4 u}{\partial x^2 \partial t^2} + O(\tau^3) \quad (11)$$

将 (10) 和 (11) 相加得

$$\frac{\partial^2 u}{\partial x^2}(x_i, t_{k+\frac{1}{2}}) = \frac{1}{2} \left[ \frac{\partial^2 u}{\partial x^2}(x_i, t_{k+1}) + \frac{\partial^2 u}{\partial x^2}(x_i, t_k) \right] + O(\tau^2) \quad (12)$$

将 (12) 代入 (9) 得

$$\frac{\partial u}{\partial t}(x_i, t_{k+\frac{1}{2}}) - \frac{1}{2} a \left[ \frac{\partial^2 u}{\partial x^2}(x_i, t_{k+1}) + \frac{\partial^2 u}{\partial x^2}(x_i, t_k) \right] = f(x_i, t_{k+\frac{1}{2}}) + O(\tau^2) \quad (13)$$

用一阶中心差商近似一阶导数

$$\frac{\partial u}{\partial t}(x_i, t_{k+\frac{1}{2}}) = \frac{u(x_i, t_{k+1}) - u(x_i, t_k)}{\tau} + O(\tau^2) \quad (14)$$

用二阶中心差商近似二阶导数

$$\frac{\partial^2 u}{\partial x^2}(x_i, t_k) = \frac{u(x_{i+1}, t_k) - 2u(x_i, t_k) + u(x_{i-1}, t_k))}{h^2} + O(h^2) \quad (15)$$

$$\frac{\partial^2 u}{\partial x^2}(x_i, t_{k+1}) = \frac{u(x_{i+1}, t_{k+1}) - 2u(x_i, t_{k+1}) + u(x_{i-1}, t_{k+1}))}{h^2} + O(h^2) \quad (16)$$

将 (14)、(15) 和 (16) 代入 (13), 得

$$\begin{aligned} & \frac{u(x_i, t_{k+1}) - u(x_i, t_k)}{\tau} - \frac{a}{2} \left[ \frac{u(x_{i+1}, t_k) - 2u(x_i, t_k) + u(x_{i-1}, t_k))}{h^2} + \right. \\ & \left. \frac{u(x_{i+1}, t_{k+1}) - 2u(x_i, t_{k+1}) + u(x_{i-1}, t_{k+1}))}{h^2} \right] = f(x_i, t_{k+\frac{1}{2}}) + O(h^2 + \tau^2) \end{aligned} \quad (17)$$

略去截断误差, 从而可得差分方程

$$\begin{cases} \frac{u_i^{k+1} - u_i^k}{\tau} = \frac{a}{2} \left[ \frac{u_{i+1}^k - 2u_i^k + u_{i-1}^k}{h^2} + \frac{u_{i+1}^{k+1} - 2u_i^{k+1} + u_{i-1}^{k+1}}{h^2} \right] + f(x_i, t_{k+\frac{1}{2}}) \end{cases} \quad (18a)$$

$$\begin{cases} u_i^0 = \varphi(x_i), 0 \leq i \leq m \end{cases} \quad (18b)$$

$$\begin{cases} u_0^k = \alpha(t_k), u_m^k = \beta(t_k), 1 \leq k \leq n \end{cases} \quad (18c)$$

截断误差为  $O(\tau^2 + h^2)$ .

将 (18a) 写成矩阵形式

$$A_1 u^{k+1} = A_2 u^k + f \quad (19)$$

其中

$$A_1 = \begin{bmatrix} 1+\gamma & -\frac{\gamma}{2} & & & \\ -\frac{\gamma}{2} & 1+\gamma & -\frac{\gamma}{2} & & \\ & \ddots & \ddots & \ddots & \\ & & -\frac{\gamma}{2} & 1+\gamma & \end{bmatrix}$$

$$A_2 = \begin{bmatrix} 1-\gamma & \frac{\gamma}{2} & & & \\ \frac{\gamma}{2} & 1-\gamma & \frac{\gamma}{2} & & \\ & \ddots & \ddots & \ddots & \\ & & \frac{\gamma}{2} & 1-\gamma & \end{bmatrix}$$

$$u^k = \begin{bmatrix} u_1^k \\ u_2^k \\ \vdots \\ u_{m-2}^k \\ u_{m-1}^k \end{bmatrix}$$

$$f = \begin{bmatrix} \frac{\gamma}{2}(u_0^k + u_0^{k+1}) + \tau f(x_1, t_{k+\frac{1}{2}}) \\ \tau f(x_2, t_{k+\frac{1}{2}}) \\ \vdots \\ \tau f(x_{m-2}, t_{k+\frac{1}{2}}) \\ \frac{\gamma}{2}(u_m^k + u_m^{k+1}) + \tau f(x_{m-1}, t_{k+\frac{1}{2}}) \end{bmatrix}$$

解 (19), 即可得数值解。

### 2.3 二阶 BDF 差分格式

当  $k=1$  时, 直接对 (1a) 运用向后 Euler 差分格式, 有

$$\frac{u_i^1 - u_i^0}{\tau} = a \frac{u_{i-1}^1 - 2u_i^1 + u_{i+1}^1}{h^2} + f_i^1, 1 \leq i \leq m-1 \quad (20)$$

截断误差  $R = O(h^2 + \tau)$

当  $k \geq 2$  时, 在点  $(x_i, t_k)$  处考虑方程 (1a), 有

$$\frac{\partial u}{\partial t}(x_i, t_k) = a \frac{\partial^2 u}{\partial t^2}(x_i, t_k) + f(x_i, t_k) \quad (21)$$

将  $u(x_i, t_{k-1}), u(x_i, t_{k-2})$  在点  $(x_i, t_k)$  处 Taylor 展开, 有

$$u(x_i, t_{k-1}) = u(x_i, t_k) - \tau \frac{\partial u}{\partial t}(x_i, t_k) + \frac{1}{2!} \tau^2 \frac{\partial^2 u}{\partial t^2}(x_i, t_k) - \frac{1}{3!} \tau^3 \frac{\partial^3 u}{\partial t^3}(x_i, t_k) + O(\tau^3) \quad (22)$$

$$u(x_i, t_{k-2}) = u(x_i, t_k) - 2\tau \frac{\partial u}{\partial t}(x_i, t_k) + \frac{1}{2!} (2\tau)^2 \frac{\partial^2 u}{\partial t^2}(x_i, t_k) - \frac{1}{3!} (2\tau)^3 \frac{\partial^3 u}{\partial t^3}(x_i, t_k) + O(\tau^3) \quad (23)$$

(23) - 4 × (22) 得

$$\frac{u(x_i, t_{k-2}) - 4u(x_i, t_{k-1}) + 3u(x_i, t_k)}{2\tau} = \frac{\partial u}{\partial t}(x_i, t_k) + O(\tau^2) \quad (24)$$

用二阶中心差商代替二阶导数

$$\frac{\partial^2 u}{\partial x^2}(x_i, t_k) = \frac{u(x_{i+1}, t_k) - 2u(x_i, t_k) + u(x_{i-1}, t_k))}{h^2} + O(h^2) \quad (25)$$

将 (24) 和 (25) 代入方程 (21), 有

$$\begin{aligned} \frac{u(x_i, t_{k-2}) - 4u(x_i, t_{k-1}) + 3u(x_i, t_k)}{2\tau} &= a \frac{u(x_{i+1}, t_k) - 2u(x_i, t_k) + u(x_{i-1}, t_k))}{h^2} \\ &+ f(x_i, t_k) + O(\tau^2 + h^2) \end{aligned} \quad (26)$$

所以差分格式为

$$\begin{cases} \frac{3u_i^k - 4u_i^{k-1} + u_i^{k-2}}{2\tau} = a \frac{u_{i-1}^k - 2u_i^k + u_{i+1}^k}{h^2} + f_i^k, k \geq 2, 1 \leq i \leq m-1 \end{cases} \quad (27a)$$

$$\begin{cases} \frac{u_i^1 - u_i^0}{\tau} = a \frac{u_{i-1}^1 - 2u_i^1 + u_{i+1}^1}{h^2} + f_i^1, k = 1, 1 \leq i \leq m-1 \end{cases} \quad (27b)$$

$$\begin{cases} u_i^0 = \varphi(x_i), 1 \leq i \leq m, u_0^k = \alpha(t_k), u_m^k = \beta(t_k), 1 \leq k \leq n \end{cases} \quad (27c)$$

当  $k \geq 2$  时, 整理为

$$\gamma u_{i-1}^k - (2\gamma + \frac{3}{2})u_i^k + \gamma u_{i+1}^k = -2u_i^{k-1} + \frac{1}{2}u_i^{k-2} - \tau f_i^k \quad (28)$$

写成矩阵形式

$$Au^k = -2u^{k-1} + \frac{1}{2}u^{k-2} + f \quad (29)$$

其中

$$A = \begin{bmatrix} -(2\gamma + \frac{3}{2}) & \gamma & & & \\ \gamma & -(2\gamma + \frac{3}{2}) & \gamma & & \\ & & \ddots & \ddots & \ddots \\ & & & -(2\gamma + \frac{3}{2}) & \gamma \end{bmatrix}$$

$$u^k = \begin{bmatrix} u_1^k \\ u_2^k \\ \vdots \\ u_{m-2}^k \\ u_{m-1}^k \end{bmatrix}$$

$$f = \begin{bmatrix} -\gamma u_0^k - \tau f(x_1, t_k) \\ -\tau f(x_1, t_k) \\ \vdots \\ -\tau f(x_{m-2}, t_k) \\ -\gamma u_m^k - \tau f(x_{m-1}, t_k) \end{bmatrix}$$

解方程 (29), 即可得数值解。

### 三、数值例子

数值例子为

$$\begin{cases} \frac{\partial u}{\partial t} = \frac{\partial^2 u}{\partial x^2} & , \quad 0 \leq x \leq 1, 0 \leq t \leq 1 \\ u(x, 0) = e^x & , \quad 0 \leq x \leq 1 \\ u(0, t) = e^t, u(1, t) = e^{1+t}, & , \quad 0 \leq t \leq 1 \end{cases} \quad (30)$$

该问题的精确解为  $u(x, t) = e^{x+t}$ .

定义误差为

$$E_\infty(h, \tau) = \max_{\substack{1 \leq i \leq m-1 \\ 1 \leq k \leq n}} |u(x_i, t_k) - u_i^k|$$

现在分别使用三种数值格式对该例子进行求解, 解题程序运行于 Matlab 2018a.

#### 3.1 向后 Euler 格式

当  $\tau = \frac{1}{100}, h = \frac{1}{10}$  时,  $t=1$  处的数值解和精确解见图1, 从图像上看很接近。

当  $\tau = \frac{1}{100}, h = \frac{1}{10}$  时, 取  $x=0.5$ , 不同  $t$  处的值见表1, 随着  $t$  的增大, 误差不断累积, 越来越大, 到  $t=1$  处误差变得最大。

取不同  $\tau$  和  $h$  时,  $t=1$  处的误差见图2, 步长越小, 误差也越小。

取不同步长时, 误差和误差比见表2,  $\tau$  变为原来的 4 倍,  $h$  变为原来的 2 倍, 误差会变为原来的 4 倍, 符合  $O(\tau + h^2)$  的截断误差

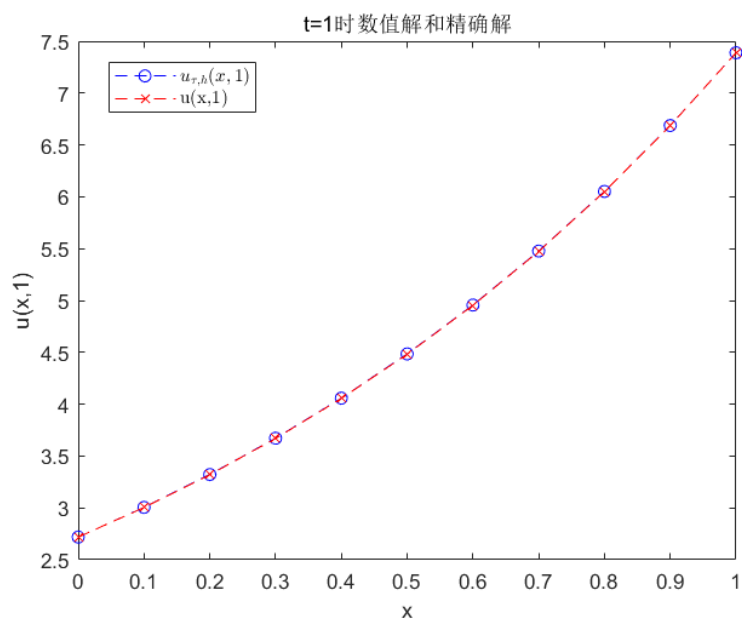


图 1  $t=1$  处的数值解和精确解 (向后 Euler 格式)

表 1  $x=0.5$  时, 不同  $t$  处的数值解、精确解和误差 (向后 Euler 格式)

k	t	数值解	精确解	误差
10	0.1	1.822891	1.822119	7.7174E-04
20	0.2	2.014927	2.013753	1.1743E-03
30	0.3	2.226965	2.225541	1.4242E-03
40	0.4	2.461227	2.459603	1.6237E-03
50	0.5	2.720096	2.718282	1.8140E-03
60	0.6	3.006178	3.004166	2.0124E-03
70	0.7	3.322344	3.320117	2.2271E-03
80	0.8	3.671759	3.669297	2.4625E-03
90	0.9	4.057922	4.055200	2.7219E-03
100	1	4.484697	4.481689	3.0084E-03

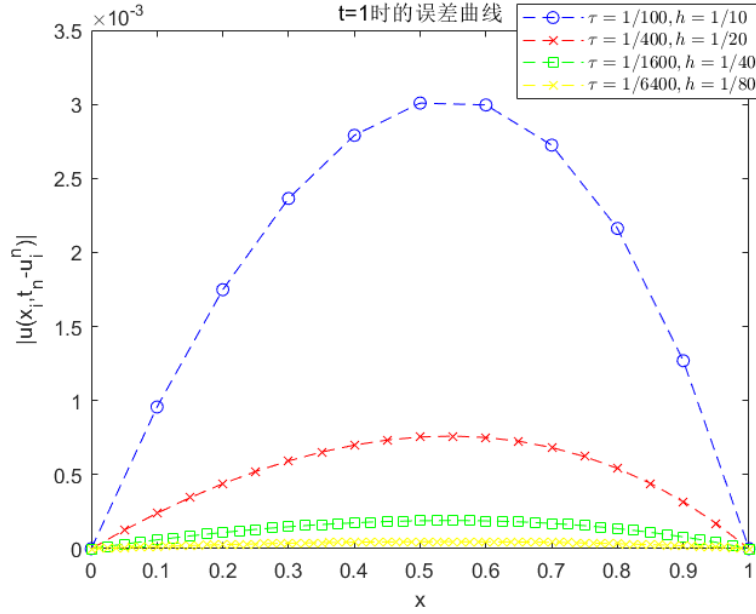


图 2 不同步长下的误差 (向后 Euler 格式)

表 2 取不同步长时的误差和误差比 (向后 Euler 格式)

$h, \tau$	$E_{\infty}(h, \tau)$	$E_{\infty}(2h, 4\tau)/E_{\infty}(h, \tau)$
1/100, 1/10	3.0084E-03	*
1/400, 1/20	7.6035E-04	3.956615
1/1600, 1/40	1.9023E-04	3.997046
1/6400, 1/80	4.7566E-05	3.999261

### 3.2 Crank-Nicolson 格式

当  $\tau = \frac{1}{10}, h = \frac{1}{10}$  时,  $t=1$  处的数值解和精确解见图3, 从图像上看很接近。

当  $\tau = \frac{1}{10}, h = \frac{1}{10}$  时, 取  $x=0.5$ , 不同  $t$  处的值见表3, 当层数越深时, 误差越大, 这是因为, 每一次由  $k$  层求解  $k+1$  层时都有误差, 随着  $t$  的增大, 误差不断累积, 越来越大, 到  $t=1$  处误差变得最大。

取不同  $\tau$  和  $h$  时,  $t=1$  处的误差见图4, 步长越小, 误差也越小。

使用 Crank-Nicolson 格式求数值解, 取不同步长时最大误差和最大误差的比值见表4,  $\tau$  变为原来的 2 倍,  $h$  变为原来的 2 倍, 误差会变为原来的 4 倍, 符合  $O(\tau^2 + h^2)$  的截断误差。



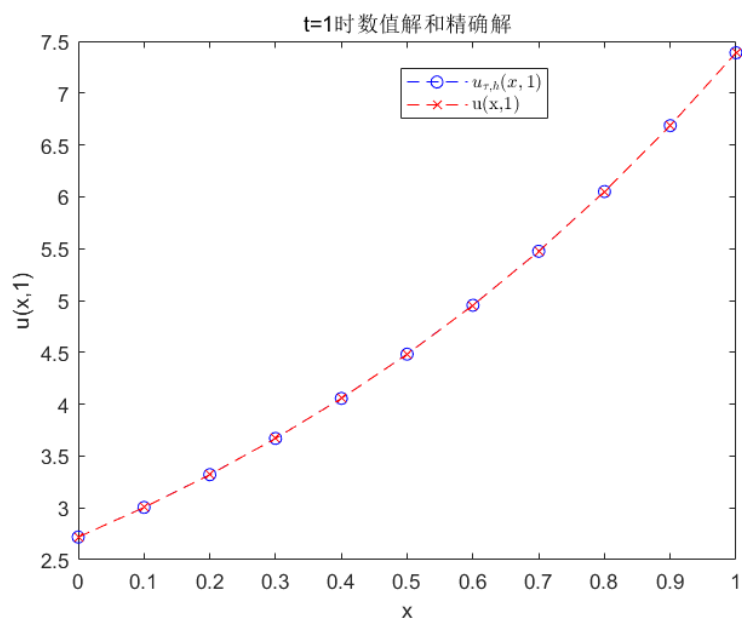


图 3  $t=1$  处的数值解和精确解 (Crank-Nicolson 格式)

表 3  $x=0.5$  时, 不同  $t$  处的数值解、精确解和误差 (Crank-Nicolson 格式)

k	t	数值解	精确解	误差
1	0.1	1.822349	1.822119	2.3053E-04
2	0.2	2.014105	2.013753	3.5224E-04
3	0.3	2.225953	2.225541	4.1241E-04
4	0.4	2.460072	2.459603	4.6922E-04
5	0.5	2.718802	2.718282	5.2042E-04
6	0.6	3.004743	3.004166	5.7700E-04
7	0.7	3.320755	3.320117	6.3794E-04
8	0.8	3.670002	3.669297	7.0507E-04
9	0.9	4.055979	4.055200	7.7949E-04
10	1	4.482550	4.481689	8.6123E-04

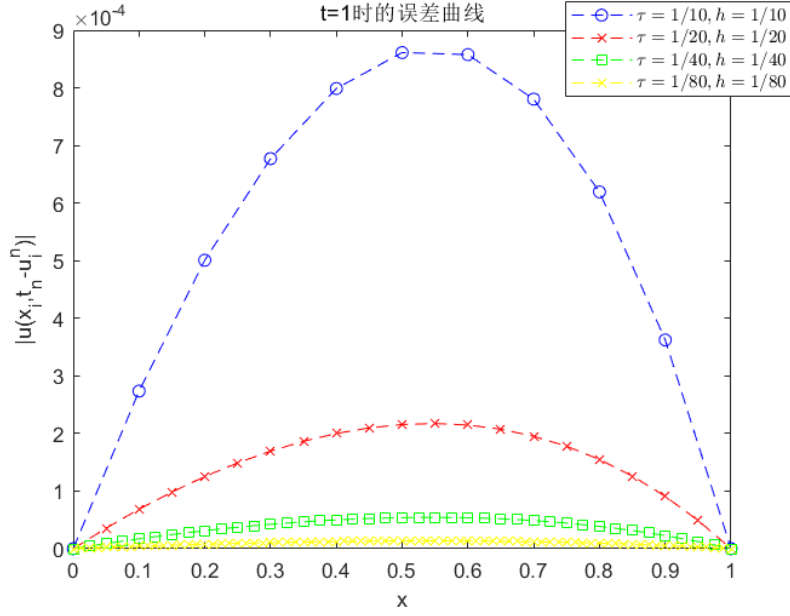


图 4 不同步长下的误差 (Crank-Nicolson 格式)

表 4 不同步长的最大误差和最大误差的比 (Crank-Nicolson 格式)

$h, \tau$	$E_{\infty}(h, \tau)$	$E_{\infty}(2h, 2\tau)/E_{\infty}(h, \tau)$
1/10, 1/10	8.61E-04	*
1/20, 1/20	2.17E-04	3.962274
1/40, 1/40	5.44E-05	3.998647
1/80, 1/80	1.36E-05	3.999657

### 3.3 二阶 BDF 差分格式

当  $\tau = \frac{1}{10}, h = \frac{1}{10}$  时,  $t=1$  处的数值解和精确解见图5, 从图像上看很接近。

当  $\tau = \frac{1}{10}, h = \frac{1}{10}$  时, 取  $x=0.5$ , 不同  $t$  处的值见表5。

取不同  $\tau$  和  $h$  时,  $t=1$  处的误差见图6, 步长越小, 误差也越小。

取不同步长时, 误差和误差比见表6,  $\tau$  变为原来的 2 倍,  $h$  变为原来的 2 倍, 误差变为原来的 2 到 3 倍, 这是因为, 虽然  $k \geq 2$  时, 截断误差为  $O(\tau^2 + h^2)$ , 但是  $k = 1$  时, 截断误差为  $O(\tau + h^2)$ , 所以达不到 4 倍。

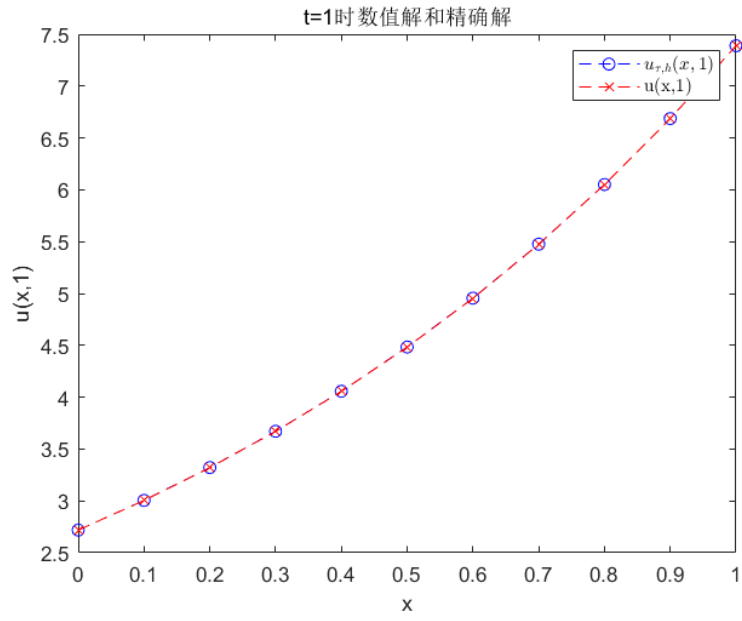


图 5  $t=1$  处的数值解和精确解 (二阶 **BDF** 差分格式)

表 5  $x=0.5$  时, 不同  $t$  处的数值解、精确解和误差 (二阶 **BDF** 差分格式)

k	t	数值解	精确解	误差
1	0.1	1.827620	1.822119	5.50E-03
2	0.2	2.018779	2.013753	5.03E-03
3	0.3	2.228923	2.225541	3.38E-03
4	0.4	2.461791	2.459603	2.19E-03
5	0.5	2.719898	2.718282	1.62E-03
6	0.6	3.005622	3.004166	1.46E-03
7	0.7	3.321620	3.320117	1.50E-03
8	0.8	3.670940	3.669297	1.64E-03
9	0.9	4.057022	4.055200	1.82E-03
10	1	4.483712	4.481689	2.02E-03

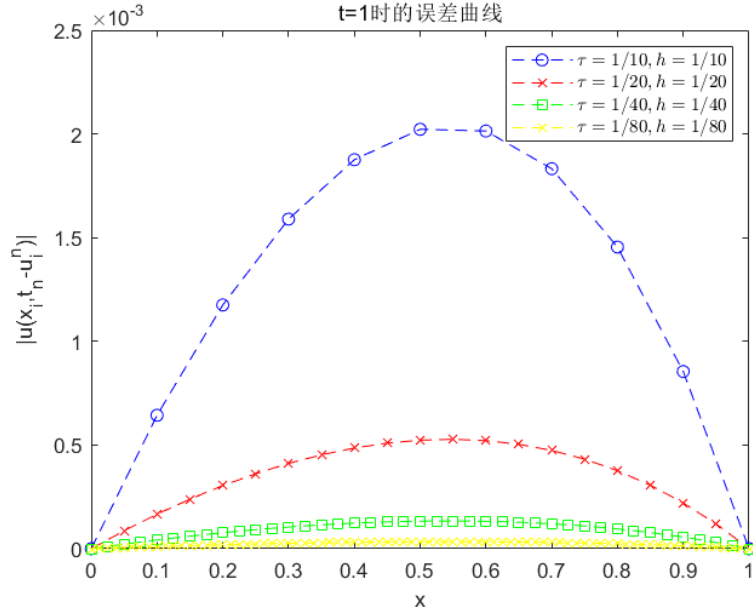


图 6 不同步长下的误差 (二阶 **BDF** 差分格式)

表 6 取不同步长时的误差和误差比 (二阶 **BDF** 差分格式)

$h, \tau$	$E_{\infty}(h, \tau)$	$E_{\infty}(2h, 4\tau)/E_{\infty}(h, \tau)$
1/10, 1/10	5.61E-03	*
1/20, 1/20	1.90E-03	2.9544
1/40, 1/40	6.18E-04	3.0719
1/80, 1/80	1.81E-04	3.4202

## 四、总结

本文建立了三种一维抛物型方程差分格式：向后 Euler 格式、Crank-Nicolson 格式和二阶 BDF 格式。并运用这三种格式，通过编写 matlab 程序，对具体的算例进行了数值求解。向后 Euler 格式的截断误差为  $O(\tau + h^2)$ , Crank-Nicolson 格式的截断误差为  $O(\tau^2 + h^2)$ , 而二阶 BDF 格式的截断误差则分为两段：当  $k = 1$  时，截断误差为  $O(\tau + h^2)$ , 当  $k \geq 2$  时，截断误差为  $O(\tau^2 + h^2)$ , 精度为：Crank-Nicolson 格式 > 二阶 BDF 格式 > 向后 Euler 格式。

## 参考文献

- [1] 李荣华. 偏微分方程数值解法 [M]. 高等教育出版社, 2005.
- [2] 孙志忠, 计算数学. 偏微分方程数值解法 [M]. 科学出版社, 2005.

## 附录 A 程序流程图

程序的流程见图7



图 7 程序流程图

## 附录 B 向后 Euler 格式代码

fa.m 求精确解

```
function r =fa(t,x)
% 求精确解
```

```

% @t 时间向量
% @x 空间向量
[t,x]=meshgrid(t,x);
t=t';
x=x';
r=exp(x+t);
end

```

## fsolve.m 用向后 Euler 格式求数值解

```

function [t,x,u] = fsolve(tau,h)
% 用向后Euler法解抛物方程
% @t 时间向量
% @x 空间向量
% @tau 时间步长
% @h 空间步长
% @u 数值解
N=1/tau;%t被分割的区间数
M=1/h;%x被分割的区间数
t=0:tau:1;
x=0:h:1;
u=ones(N+1,M+1);
u(1,:)=exp(x);%初值
%边值
u(:,1)=exp(t);
u(:,M+1)=exp(1+t);

r=tau/h^2;%步长系数
a=ones(M-2,1)*(-r);%下对角线
c=ones(M-2,1)*(-r);%上对角线
b=ones(M-1,1)*(1+2*r);%主对角线
A=diag(b,0)+diag(a,-1)+diag(c,1);%系数矩阵
for k=2:N+1
%右端项
f=u(k-1,2:M);
f(1)=f(1)+r*u(k,1);
f(M-1)=f(M-1)+r*u(k,M+1);
u(k,2:M)=(A\f)';%由k-1层求第k层的值
end
end

```

## fig.m 绘制误差图，精确解和数值解对比图

```

clc;clear;
tau=[1/100,1/400,1/1600,1/6400];%时间步长
h=[1/10,1/20,1/40,1/80];%空间步长
K=size(tau,2);

```

```

t_cell=cell(K,1);%时间向量
x_cell=cell(K,1);%空间向量
u_cell=cell(K,1);%数值解
ua_cell=cell(K,1);%精确解
epsilon_cell=cell(K,1);%绝对误差
for n=1:K
    [t_cell{n,1},x_cell{n,1},u_cell{n,1}]=fsolve(tau(n),h(n));%求数值解
    ua_cell{n,1}=fa(t_cell{n,1},x_cell{n,1});%精确解
    epsilon_cell{n,1}=abs(ua_cell{n,1}-u_cell{n,1});%求绝对误差
end
figure(1);
%t=1,tau=1/100,h=1/10时数值解和精确解对比
plot(x_cell{1,1},u_cell{1,1}(1/tau(1)+1,:), 'b--o' ...
,x_cell{1,1},ua_cell{1,1}(1/tau(1)+1,:), 'r--x')
h=legend('$u_{\tau,h}(x,1)$','u(x,1)');
set(h,'Interpreter','latex') %设置legend为latex解释器
title('t=1时数值解和精确解');
xlabel('x');ylabel('u(x,1)');

%绘制t=1时的误差曲线
figure(2)
plot(x_cell{1,1},epsilon_cell{1,1}(1/tau(1)+1,:), 'b--o');
hold on;
plot(x_cell{2,1},epsilon_cell{2,1}(1/tau(2)+1,:), 'r--x');
hold on;
plot(x_cell{3,1},epsilon_cell{3,1}(1/tau(3)+1,:), 'g--s');
hold on;
plot(x_cell{4,1},epsilon_cell{4,1}(1/tau(4)+1,:), 'y--x');
hold on;
h=legend('$\tau=1/100,h=1/10$', '$\tau=1/400,h=1/20$', '$\tau=1/1600,h=1/40$', '$\tau=1/6400,h=1/80$');
set(h,'Interpreter','latex') %设置legend为latex解释器
title('t=1时的误差曲线');
xlabel('x');ylabel('|u(x_i,t_n)-u_i^{n})|');

```

data.m 求特定点的数值解，误差分析。

```

clc;clear;
tao=[1/100,1/400,1/1600,1/6400];%时间步长
h=[1/10,1/20,1/40,1/80];%空间步长
K=size(tao,2);
t_cell=cell(K,1);%时间向量
x_cell=cell(K,1);%空间向量
u_cell=cell(K,1);%数值解
ua_cell=cell(K,1);%精确解
epsilon_cell=cell(K,1);%绝对误差
max_epsilon=ones(K,1);
rate=ones(3,1);%误差比

```



```

for n=1:K
[t_cell{n,1},x_cell{n,1},u_cell{n,1}]=fsolve(tao(n),h(n));%求数值解
ua_cell{n,1}=fa(t_cell{n,1},x_cell{n,1});%精确解
epsilon_cell{n,1}=abs(ua_cell{n,1}-u_cell{n,1});%求绝对误差
max_epsilon(n,1)=max(epsilon_cell{n,1}(:));%求最大误差
end

%E(t,h)/E(4t,2h)
for n=1:K-1
rate(n,1)=max_epsilon(n,1)/max_epsilon(n+1,1);
end

%当x=0.5时，取t=0.1,0.2,...1时，误差的变化,tao=1/100,h=1/10;
u_1=ones(10,1);%特定点数值解
ua_1=ones(10,1);%特定点精确解
[t,x,u]=fsolve(tao(1),h(1));
ua=fa(t,x);
u_1=u(11:10:101,6);
ua_1=ua(11:10:101,6);
epsilon_1=abs(u_1-ua_1);%误差

```

## 附录 C Crank-Nicolson 格式代码

fa.m 求精确解: 与向后 Euler 格式相同

fsolve.m 用 Crank-Nicolson 格式求数值解

```

function [t,x,u] = fsolve(tau,h)
% 用Crank-Nicolson格式解求数值解
% @t 时间向量
% @x 空间向量
% @tau 时间步长
% @h 空间步长
% @u 数值解
N=1/tau;%t被分割的区间数
M=1/h;%x被分割的区间数
t=0:tau:1;
x=0:h:1;
u=ones(N+1,M+1);
u(1,:)=exp(x);%初值
%边值
u(:,1)=exp(t);
u(:,M+1)=exp(1+t);

r=tau/h^2;%步长系数
a1=ones(M-2,1)*(-r/2);%下对角线

```

```

b1=ones(M-1,1)*(1+r);%主队角线
c1=ones(M-2,1)*(-r/2);%上对角线
A1=diag(b1,0)+diag(a1,-1)+diag(c1,1);%系数矩阵

a2=-a1;
b2=ones(M-1,1)*(1-r);
c2=-c1;
A2=diag(b2,0)+diag(a2,-1)+diag(c2,1);%系数矩阵
for k=2:N+1
%右端项
f=A2*u(k-1,2:M)';
f(1)=f(1)+r/2*(u(k,1)+u(k-1,1));
f(M-1)=f(M-1)+r/2*(u(k,M+1)+u(k-1,M+1));
u(k,2:M)=(A1\f)';%由k-1层求第k层的值
end
end

```

fig.m 绘制误差图，精确解和数值解对比图

```

clc;clear;
tau=[1/10,1/20,1/40,1/80];%时间步长
h=[1/10,1/20,1/40,1/80];%空间步长
K=size(tau,2);
t_cell=cell(K,1);%时间向量
x_cell=cell(K,1);%空间向量
u_cell=cell(K,1);%数值解
ua_cell=cell(K,1);%精确解
epsilon_cell=cell(K,1);%绝对误差
for n=1:K
[t_cell{n,1},x_cell{n,1},u_cell{n,1}]=fsolve(tau(n),h(n));%求数值解
ua_cell{n,1}=fa(t_cell{n,1},x_cell{n,1});%精确解
epsilon_cell{n,1}=abs(ua_cell{n,1}-u_cell{n,1});%求绝对误差
end
figure(1);
%t=1,tau=1/100,h=1/10时数值解和精确解对比
plot(x_cell{1,1},u_cell{1,1}(1/tau(1)+1,:), 'b--o')...
,x_cell{1,1},ua_cell{1,1}(1/tau(1)+1,:), 'r--x')
h=legend('$u_{\tau,h}(x,1)$', 'u(x,1)');
set(h, 'Interpreter', 'latex') %设置legend为latex解释器
title('t=1时数值解和精确解');
xlabel('x');ylabel('u(x,1)');

%绘制t=1时的误差曲线
figure(2)
plot(x_cell{1,1},epsilon_cell{1,1}(1/tau(1)+1,:), 'b--o');
hold on;
plot(x_cell{2,1},epsilon_cell{2,1}(1/tau(2)+1,:), 'r--x');

```

```

hold on;
plot(x_cell{3,1},epsilon_cell{3,1}(1/tau(3)+1,:), 'g--s');
hold on;
plot(x_cell{4,1},epsilon_cell{4,1}(1/tau(4)+1,:), 'y--x');
hold on;
h=legend('$\tau=1/10,h=1/10$', '$\tau=1/20,h=1/20$', '$\tau=1/40,h=1/40$', '$\tau=1/80,h=1/80$');
set(h, 'Interpreter', 'latex') %设置legend为latex解释器
title('t=1时的误差曲线');
xlabel('x'); ylabel(' |u(x_i), t_n - u_i^{n}| ');

```

data.m 求特定点的数值解，误差分析。

```

clc; clear;
tau=[1/10,1/20,1/40,1/80];%时间步长
h=[1/10,1/20,1/40,1/80];%空间步长
K=size(tau,2);
t_cell=cell(K,1);%时间向量
x_cell=cell(K,1);%空间向量
u_cell=cell(K,1);%数值解
ua_cell=cell(K,1);%精确解
epsilon_cell=cell(K,1);%绝对误差
max_epsilon=ones(K,1);
rate=ones(3,1);%误差比
for n=1:K
    [t_cell{n,1},x_cell{n,1},u_cell{n,1}]=fsolve(tau(n),h(n));%求数值解
    ua_cell{n,1}=fa(t_cell{n,1},x_cell{n,1});%精确解
    epsilon_cell{n,1}=abs(ua_cell{n,1}-u_cell{n,1});%求绝对误差
    max_epsilon(n,1)=max(epsilon_cell{n,1}(:));%求最大误差
end

%E(t,h)/E(2t,2h)
for n=1:K-1
    rate(n,1)=max_epsilon(n,1)/max_epsilon(n+1,1);
end

%当x=0.5时，取t=0.1,0.2,...1时，误差的变化(tau=1/10,h=1/10);
u_1=zeros(10,1);%特定点数值解
ua_1=zeros(10,1);%特定点精确解
[t,x,u]=fsolve(tau(1),h(1));
ua=fa(t,x);
u_1=u(2:1:11,1/h(1)/2+1);
ua_1=ua(2:1:11,1/h(1)/2+1);
epsion_1=abs(u_1-ua_1);%误差

```

## 附录 D 二阶 BDF 格式代码

fa.m 求精确解, 与前面相同

fig.m 绘制误差图, 精确解和数值解对比图, 与 Crank-Nicolson 格式相同

data.m 求特定点的数值解, 误差分析, 与 Crank-Nicolson 格式相同

fsolve.m 用 BDF 格式求数值解

```
function [t,x,u] = fsolve(tau,h)
% 用BDF格式解抛物方程
% @t 时间向量
% @x 空间向量
% @tau 时间步长
% @h 空间步长
% @u 数值解
N=1/tau;%t被分割的区间数
M=1/h;%x被分割的区间数
t=0:tau:1;
x=0:h:1;
u=ones(N+1,M+1);
u(1,:)=exp(x);%初值
%边值
u(:,1)=exp(t);
u(:,M+1)=exp(1+t);

r=tau/h^2;%步长系数
a=ones(M-2,1)*(-r);%下对角线
c=ones(M-2,1)*(-r);%上对角线
b=ones(M-1,1)*(1+2*r);%主对角线
A1=diag(b,0)+diag(a,-1)+diag(c,1);%向后Euler法系数矩阵

a=ones(M-2,1)*(r);%下对角线
c=ones(M-2,1)*(r);%上对角线
b=ones(M-1,1)*(-(2*r+3/2));%主对角线
A2=diag(b,0)+diag(a,-1)+diag(c,1);%向后Euler法系数矩阵

%由第0层求第1层
f=u(1,2:M);
f(1)=f(1)+r*u(2,1);
f(M-1)=f(M-1)+r*u(2,M+1);
u(2,2:M)=(A1\f')';%由0层求第1层的值

%用Crank-Nicolson格式求出的第1层替代向后Euler法求出的第一层数值解
% [t2,x2,u2]=fsolve12(tau,h);
% u(2,2:M)=u2(2,2:M);

%第2层到N层
```

```

for k=3:N+1
%右端项
F=-2*u(k-1,2:M)+1/2*u(k-2,2:M);
F(1)=F(1)-r*u(k,1);
F(M-1)=F(M-1)-r*u(k,M+1);
u(k,2:M)=(A2\F')';%由k-1层求第k层的值
end
end

```